

Reglerentwurf für den Ballbot

Pengfei Zhao



TECHNISCHE
UNIVERSITÄT
DARMSTADT

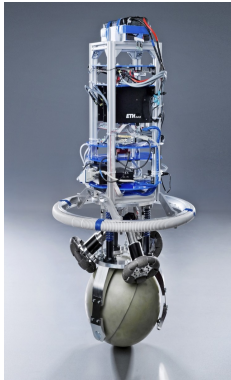


Abbildung: Der Rezero von der ETH Zürich [1]

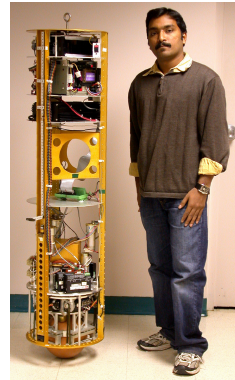


Abbildung: Der Ballbot von der CMU [2]



Was bisher geschah

- ▶ Konstruktion des Ballbots
- ▶ 2D Model anhand drei unabhängiger Ebenen
- ▶ Entwurf und Implementierung eines LQR Reglers für jeweils eine Ebene
- ▶ **Ergebnis**: Stabiles Regelverhalten in der Simulation
- ▶ **Aber** : Drehgeschwindigkeit-Beschränkung der Motoren verhindert Stabilität in der Praxis

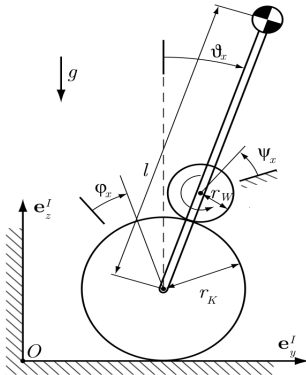


Abbildung: Model in XZ Ebene [1]

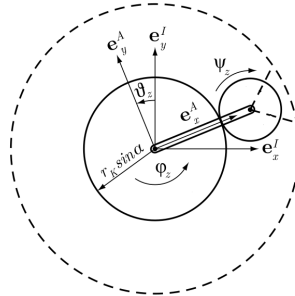


Abbildung: Model in XY Ebene [1]



Meine Aufgaben

- ▶ Entwurf eines Reglers anhand des 3D Modells
- ▶ Implementierung des Reglers in die bestehende Konstruktion

Übersicht

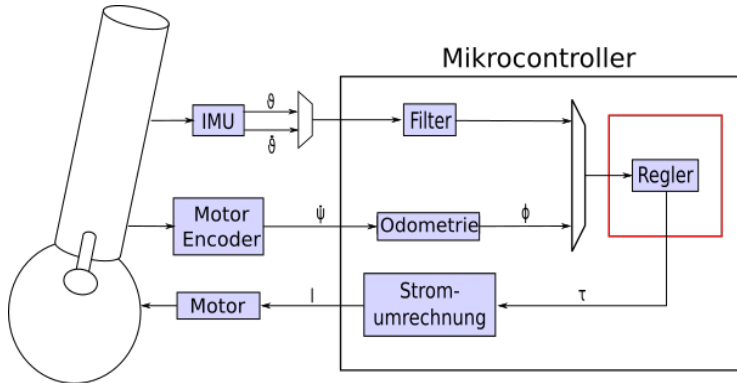


Abbildung: Übersicht des zu implementierenden Systems



1. Modellierung
2. Regelerentwurf
3. Implementierung
4. Aussicht

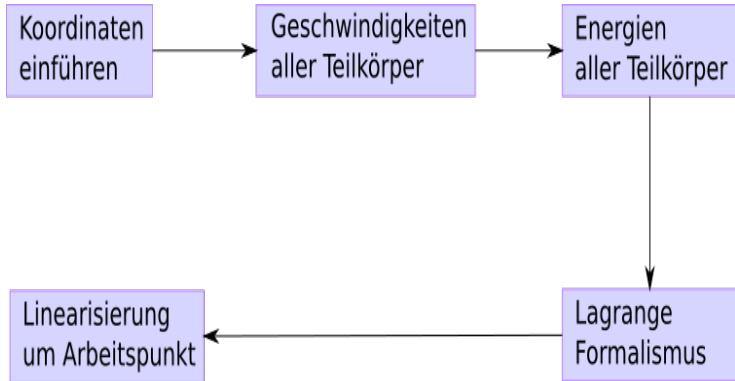
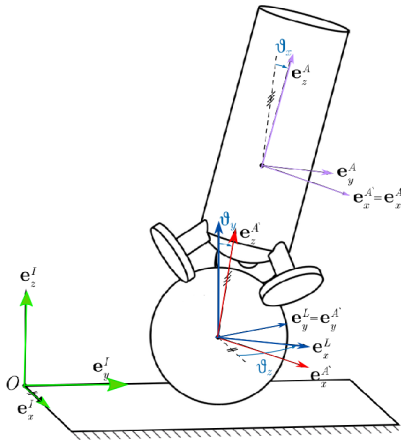


Abbildung: Arbeitsschritte der Modellierung



Minimale Koordinaten

► $q = [\phi_x, \phi_y, \vartheta_x, \vartheta_y, \vartheta_z]$

Koordinaten Systeme

► $I \xrightarrow{\vartheta_z} L \xrightarrow{\vartheta_y} A' \xrightarrow{\vartheta_x} A$

Abbildung: Koordinaten Systeme des 3D Modells [1]

Nichtlineare Bewegungsgleichungen

- ▶ $M(\vec{q}) \cdot \ddot{\vec{q}} + C(\vec{q}, \dot{\vec{q}}) + G(\vec{q}) = \vec{\tau}$, mit $q = [\phi_x, \phi_y, \vartheta_x, \vartheta_y, \vartheta_z]$
- ▶ $\ddot{\vec{x}} = \begin{bmatrix} \ddot{\vec{q}} \\ \ddot{\vec{q}} \end{bmatrix} = \begin{bmatrix} \ddot{\vec{q}} \\ M^{-1} \cdot (\vec{\tau} - (C + G)) \end{bmatrix}$

Lineare Bewegungsgleichung

- ▶ Linearisierung um Arbeitspunkt $x_{AP} = [0, 0, 0, 0, 0]$
- ▶ $\ddot{\vec{x}} = A \cdot \vec{x} + B \cdot \vec{u}$
- ▶ $\vec{y} = C \cdot \vec{x} + D \cdot \vec{u}$



Nagarajan et al [2]

The ballbot: An omnidirectional balancing mobile robot, 2013

- ▶ **Trajektorienplaner** : Berechnet Trajektorie für Ballwinkelposition $\theta(t)$ und Körperwinkel $\phi(t)$ gegeben θ_0 und θ_f anhand der Systemdynamik.
- ▶ **Kaskadenregelung** :
 - ▶ **Äußere Schleife** :
Regler : PID Regler für die Ballposition
Input : Abweichung von der Ballpositionstrajektorie
Output : Kompensationsterm für Körperwinkeltrajektorie.
 - ▶ **Innere Schleife** :
Regler : PID Regler für die Körperwinkel
Input : Abweichung von der Körperwinkeltrajektorie
Output : Drehmoment

Reglerentwurf

Übersicht



TECHNISCHE
UNIVERSITÄT
DARMSTADT

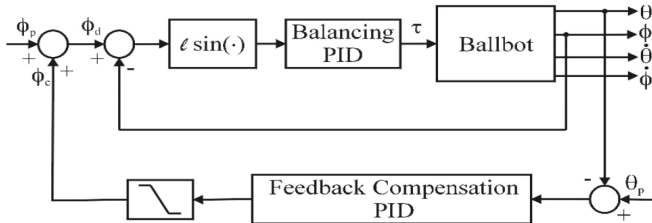


Abbildung: Regler von Nagarajan et al [2]



Van der Blonk [3]

Modeling and Control of a Ball-Balancing Robot, 2014

- ▶ Transformation führt zu entkoppelten Übertragungsfunktionen.
- ▶ SISO Loopshaping für jede Übertragungsfunktion
- ▶ **Kaskadenregelung** :
 - ▶ **Äußere Scheife** :
3 SISO Regler für Körperwinkel
 - ▶ **Innere Schleife** :
3 SISO Regler für Ballposition
- ▶ **LQR** mit vollständiger Zustandsrückführung

Fankenhauser et al [1]

Modeling and Control of a Ballbot, 2010

- ▶ **LQR** auf Basis eines linearisierten Systems um Nullpunkt
- ▶ **Gain Scheduling** : Kombination von mehreren Reglern basierend auf zusätzliche Linearisierungspunkte für die Ballgeschwindigkeiten

Entscheidung für den LQR Regler

- ▶ Schneller einfacher Entwurf
- ▶ Minimiert Stellgröße → Maximaler Drehmoment wird vermieden
- ▶ LQR Regler besitzen Robustheit : Unendliche Amplitudenreserve, mindestens 60° Phasenreserve
- ▶ Mit Gain Scheduling zum nicht linearen Regler erweiterbar
- ▶ Proof of Concept : LQR und Gain Scheduling erzielen bei Fankenhauser et al gute Ergebnisse



Theorie

- ▶ Gegeben linearisiertes Model in Zustandsform :

$$\dot{\vec{x}} = A \cdot \vec{x} + B \cdot \vec{u}$$

- ▶ Findet Gain Matrix K der Zustandsrückführung $u = -K \cdot x$, sodass u folgende Kostenfunktionen minimiert

$$J(u) = \int_0^{\infty} (x^T \cdot Q \cdot x + u^T \cdot R \cdot u) dt$$

- ▶ Q ist Gewichtungsmatrix für die Zustände
- ▶ R ist Gewichtungsmatrix für die Eingänge



Entwurf

- ▶ Parameterwahl mit Brysons Regel :

$$Q_{ii} = \frac{1}{x_{i,max}^2}$$

$$R_{jj} = \frac{1}{u_{j,max}^2}$$

- ▶ $x_{i,max}$: erwarteter Maximalwert von x_i
- ▶ $u_{i,max}$: erwarteter Maximalwert von u_j
- ▶ Matlab Befehl `lqr(A,B,Q,R)` berechnet Gain Matrix K

Implementierung Übersicht

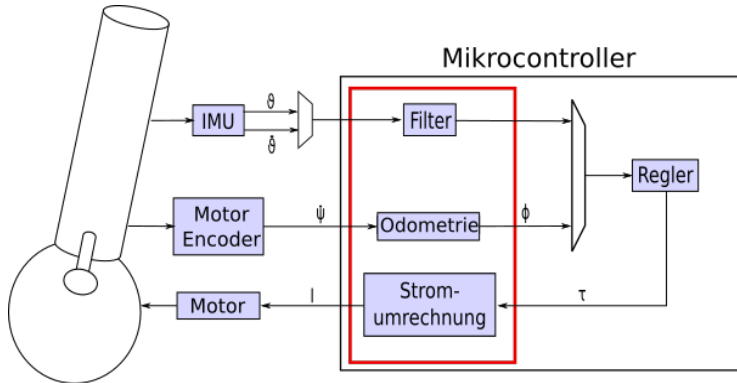


Abbildung: Struktur des implementierten Systems

Problem

- ▶ Problem in anderen Arbeiten : Verrauschte IMU Werte führen zu Zittern der Räder

Lösung

- ▶ Extended Kalman Filter : Schätzungen der Zustandsvariablen anhand eines linearisierten Modells wird mit Messwerten ergänzt
- ▶ Implementierung über Matlab

Problem

- ▶ Motor Encoder misst Winkelgeschwindigkeit der Räder $\psi_{1,2,3}$
- ▶ Der Regler benötigt die Gesamtrotation des Balles $\phi_{x,y}$

Lösung

- ▶ Ausnutzen der Annahme : Kein Gleiten zwischen Rad und Ball

$$({}^A\vec{\omega}_K \times {}^A\vec{r}_{BP_i}) \cdot {}^A\vec{d}_i = r_w \cdot {}^A\omega_{W_i}$$

- ▶ Nach ω_K auflösen und integrieren

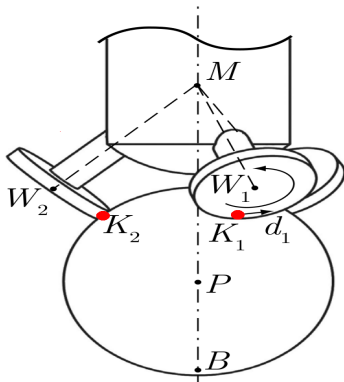


Abbildung: Illustration der Bindungsgleichungen [1]



Problem

- ▶ Reglerausgang : Drehmoment , aber Motoreingang : Strom
- ▶ Unbekannte Abbildung zwischen Drehmoment und Strom
- ▶ Aber : Strom und Drehmoment Messwerte sind bekannt

Lösung

- ▶ Abbildung zwischen Drehmoment und Strom durch lineare Regression
- ▶ Für $I = \beta_2 \cdot \tau^2 + \beta_1 \cdot \tau + \beta_0$. Parameter $\beta_2, \beta_1, \beta_0$ finden, s.d. I den Datensatz am besten beschreibt



Nächste Arbeitsschritte

- ▶ Parameterschätzung : Bestimmung der Trägheiten mit CAD Programm
- ▶ Simulation des geregelten Systems in Simulink

Mögliche Probleme

- ▶ Kontinuierliche Strecke, aber diskreter Regler auf Mikrocontroller
- ▶ Latenzzeit aufgrund Berechnung und Signaltransport
- ▶ Ansatz : Totzeit und Abtasthalteglied in Simulink Model einbauen



- [1] Péter Fankhauser and Corsin Gwerder, *Modeling and Control of a Ballbot*, 2010
- [2] Umashankar Nagarajan, George Kantor and Ralph Hollis, *The ballbot: An omnidirectional balancing mobile robot*, 2013
- [3] Koos van der Blonk, *Modeling and Control of a Ball-Balancing Robot*, 2014